

弥榮ダム漏水スラリーの流送特性に関する考察

建設省 弥榮ダム工事事務所 正員 渡辺 貞夫
 " " " 村田 克己
 " " " ○平野 清治

1. まえがき

コンクリート用骨材を生産する過程に漏水が発生し、この漏水は環境保全、公害問題の面から処理する必要がある。処理法のスラッジが多量となる程、スラッジをスラリー状態で運搬する方法が多方面で有利となる。スラリーは流送状態により均質スラリー（流送状態が乱流であれば粒子は浮遊している）と不均質スラリー（粒子が沉降しているので流速を上げて滑動する）に大別されるが、ダム漏水即ち、骨材搬送設備から発生する漏水の特性は不明な事項が多いため、流送実験を行なった結果を紹介し、本スラリーの流送特性について検討したものである。

2. スラリーの諸物性

弥榮ダムにおける骨材プラントのスラリーは、骨材原石採取地の表土・粘土50%、破碎時に生ずる砂粒子50%により構成スラリーを作成した。

2-1. 粒度分布、真比重。構成スラリーの粒度分布は図-1に示す。粒子の代表径は次のとおりである。

$$d_{50} (50\% \text{ 中位径}) = 80 \mu\text{m}, \quad d_{25} (85\% \text{ 代表径}) = 220 \mu\text{m}$$

$$d_{av} (\text{算術平均径}) = 115 \mu\text{m}$$

2-2. 単一粒子の沈降速度 長さ1mの透明アクリルの円筒容器に水を満たし粒子の落下時間を計測した。今粒子を球形と仮定したときの沈降速度 v_{sd} と抗力係数 C_D との関係を次式で求めた結果は表-1に示す。

$$v_{sd} = \sqrt{\frac{4g}{3} \frac{1}{C_D} g d (S-1)} \quad \therefore g: \text{重力加速度}, d: \text{粒子径}, S: \text{粒子の真比重}$$

2-3. 流動特性 微粒子を多量に含むスラリーには剪断応力と剪断速度の間に比例関係が成立せず、ビンガム流体としての特性が有るとと思われる所以回転粘度計により測定した。測定結果は表-2のとおりで、本スラリーは高濃度域(約35wt%)以上においては、ビンガム流体の特性を示していく。

3. 流送実験

実験装置は、可変速度モータ駆動のスラリーポンプ、4Bパイプライン。スラリー調整タンクから構成されループ状になっている。実験を行なったスラリー濃度は10~45wt%の範囲で、5種類を用いて流速と圧力損失との関係を求めた。

3-1. 圧力損失の測定結果 清水及び流送濃度における流速と圧力損失との関係は図-2のとおりである。一般にスラリーの単位長さあたりの圧力損失 i_m は、次式で表わされる。

$$i_m = i_w (1 + C_w \text{ 中}) \quad \therefore i_w: \text{清水の単位圧力損失}, C_w: \text{スラリー充填濃度}, \text{ 中}: \text{圧力勾配比}$$

この中で F_r^* 数(修正フード数)を用いて、データー整理したのが図-3であり、流送条件により F_r^* 数を求め、その対応する中値を読みこみにより圧力損失を推定することが可能となる。

今、 F_r^* 数は次式のように定義した。

$$F_r^* = \frac{V^2}{g D (S-1)} \quad \therefore V: \text{スラリー流速}, g: \text{重力加速度}, D: \text{パイプ内径}, S: \text{粒子の真比重}$$

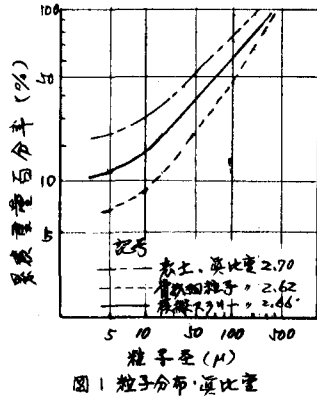


図-1 粒子分布・真比重

代表径	粒径(μ)	v_{sd} (%)	$C_D (-)$
d_{50}	80	0.578	51.9
d_{25}	220	3.69	2.96
d_{av}	115	1.20	17.5

表-1 単一粒子の沈降速度

スラリー濃度 (wt%)	剪断応力幅値 (dyn/cm²)	塑性粘度 η₀ (poise)
4.5	45.3	0.0782
37	15.2	0.0413
20以下	測定不可	←

表-2 i_m と F_r^* の関係

3-2. 流送様式の検討 本スラリーが均質スラリーか、不均質スラリーかは図-2、図-3から検討したところ以下のようになります。

①濃度40wt%以上のスラリーは中が一層となり均質スラリーとして取扱うことができる。これは流動特性よりビンガム流体とみられる濃度と一致する。

②濃度30wt%以下のスラリーは不均質スラリーとして取扱う必要がある。

4. 壓力損失の算定式の説明

一般に固液二相流における全圧力損失 ΔP_m は次式のように表わすことができる。

$$\Delta P_m = \Delta P_d + \Delta P_i + \Delta P_g$$
 (スラリー全圧損) (液体の摩擦損失) (固体粒子の摩擦損失) (浮遊圧損)

これを単位長さあたりの圧力損失に書き換えると。

$$i_m = i_d + i_i + i_g \cdots \cdots (1)$$

1) 液体の摩擦損失 i_d

次元解析すると i_d は(2)式のようになります。

$$i_d = d_m \cdot V^2 \cdot D^{2/3} \cdot \mu_L^{2-t} \cdot g_L^{t-1} / \rho_L \cdot g \cdots \cdots (2)$$

D : 管内径, μ_L : 液体の粘度, ρ_L : 液体の比重, g : 重力加速度。

d_m : 管摩擦係数。

2) 粒子の摩擦係数 i_i 粒子による摩擦損失のみを求めるのは困難であるが、今粒子を含む液体の管摩擦(i_d)を導入すると以下のようになります。

$$i_d + i_i = d_m \cdot V^2 \cdot D^{2/3} \cdot \mu_m^{2-t} \cdot g_m^{t-1} / \rho_L \cdot g \cdots \cdots (3), (2)(3)式より$$

$$\frac{i_d + i_i}{i_d} = \left\{ \frac{d_m}{d_m} \left(\frac{\mu_m}{\mu_L} \right)^{2-t} \left(\frac{g_m}{g_L} \right)^{t-1} \right\} - 1 \cdots \cdots (4)$$

又、一般に $d_m \cong d_m \times t$ から

$$i_i = \left\{ i_d \left(\frac{\mu_m}{\mu_L} \right)^{2-t} \left(\frac{g_m}{g_L} \right)^{t-1} \right\} - i_d \cdots \cdots (5)$$

3) 粒子の浮遊圧力損失 i_g 浮遊圧力を必要とするエネルギーは粒体量が流降速度で落下するエネルギーを補充する×粒体はその位置を保つと考えると

$$i_g = \frac{1}{\rho} C_D \left(\frac{g_m}{g_L} - 1 \right) \frac{V^2}{2} \cdots \cdots (6) \text{ と } 3) \text{ 式より}$$

$$i_m = i_d \left\{ \left(\frac{\mu_m}{\mu_L} \right)^{2-t} \left(\frac{g_m}{g_L} \right)^{t-1} \right\} + \frac{1}{\rho} C_D \left(\frac{g_m}{g_L} - 1 \right) \frac{V^2}{2} \cdots \cdots (7)$$

本研究アストの圧損結果から $t=1.806$ であり、今では不均質液体の場合 $t \cong 0.8$ 、均質液体の場合 $t \cong 1.0$ とすれば、本スラリーの圧損算定式は次式となる。

3.5wt% 未満のスラリー(=ユートン液体)の場合

$$i_m = i_d \left(\frac{\mu_m}{\mu_L} \right)^{0.806} + 1.25 C_D (S-1) \frac{V^2}{2} \cdots \cdots (8)$$

3.5wt%以上 のスラリー(=ビンガム液体)の場合

$$i_m = i_d \left\{ \left(\frac{\mu_m}{\mu_L} \right)^{0.194} \left(\frac{g_m}{g_L} \right)^{0.806} \right\} + C_D \left(\frac{g_m - g_L}{g_L} \right) \frac{V^2}{2} \cdots \cdots (9)$$

∴ i_d, μ_m, g_m : 清水の圧損、粘度、比重

上記の(8)(9)式により計算した圧力損失特性を図-4に示す。

5. 考察 ダム漏水スラリーの流送特性に関する次のような結果を見いたすことができた。① 3.5wt%以上の濃度では均質スラリーとして取扱うことができる。又、3.5wt%以下では不均質スラリーとして取扱わなければならぬ。② 圧力損失算定式として、本論中の(8)(9)式を用いることができない。

レダル、ダム漏水スラリーは骨材プランクトから発生する粒度分布が原石投入量の変化により常に変動するので、この影響が流送特性に及ぼす範囲の有無について今後更に検討を計る予定である。

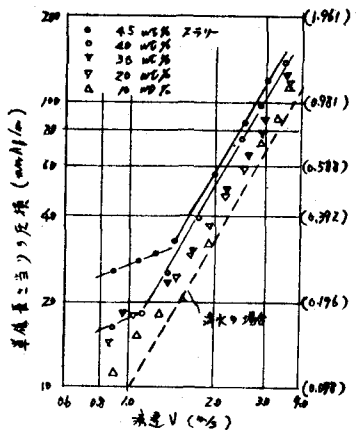


図-2 流速と圧力損失の関係

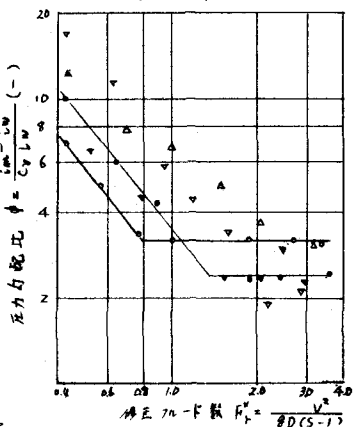


図-3 中と F_r^* の関係

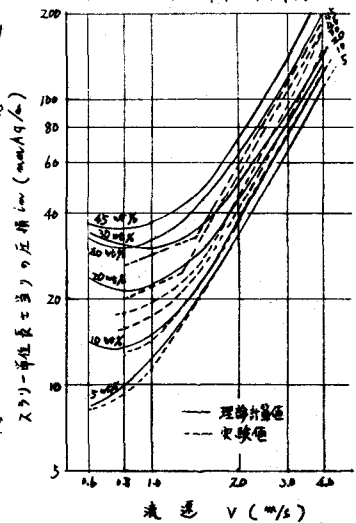


図-4 (8)(9)式による圧力損失